

Figura 4.56 - Mapa geoquímico do Li nos sedimentos de fundo das microbacias hidrográficas do Estado do Paraná (sub-células GGRN).

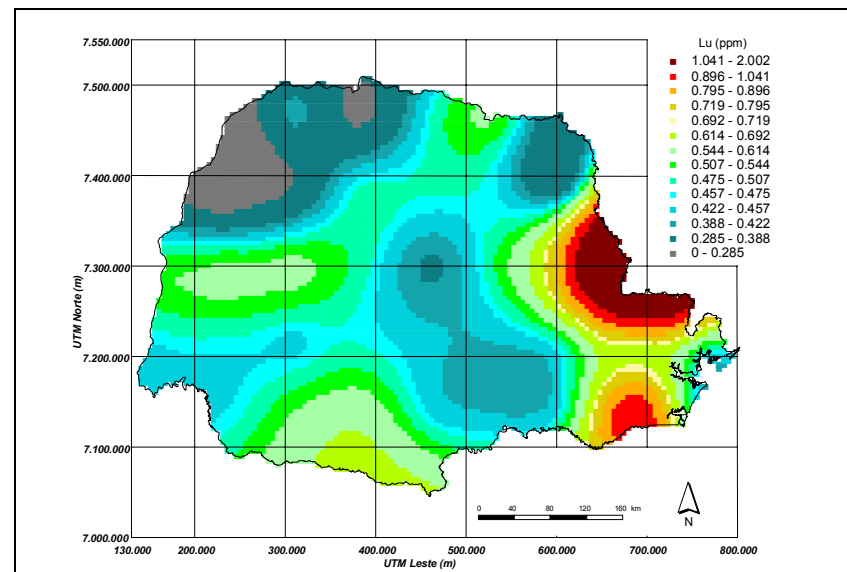


Figura 4.57 – Mapa geoquímico do Lu nos sedimentos de fundo das microbacias hidrográficas do Estado do Paraná (sub-células GGRN).

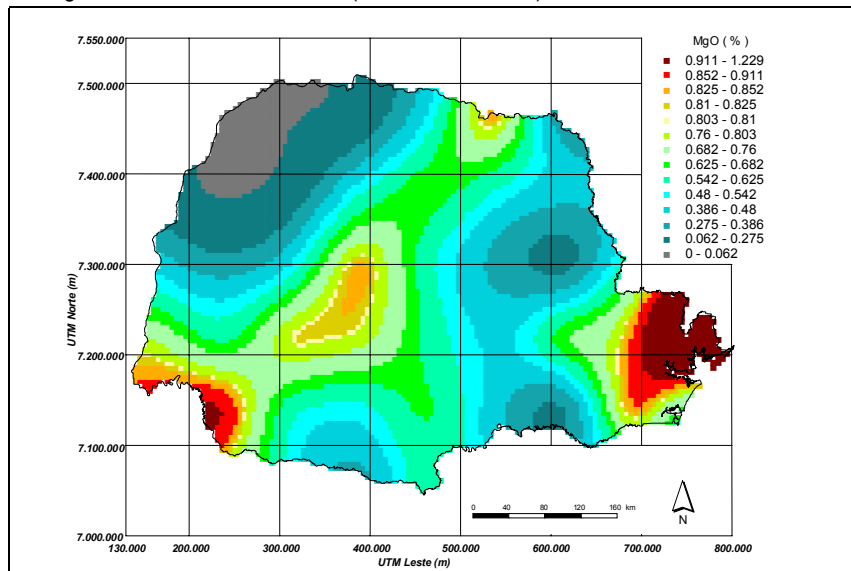


Figura 4.58 - Mapa geoquímico do MgO nos sedimentos de fundo das microbacias hidrográficas do Estado do Paraná (sub-células GGRN).

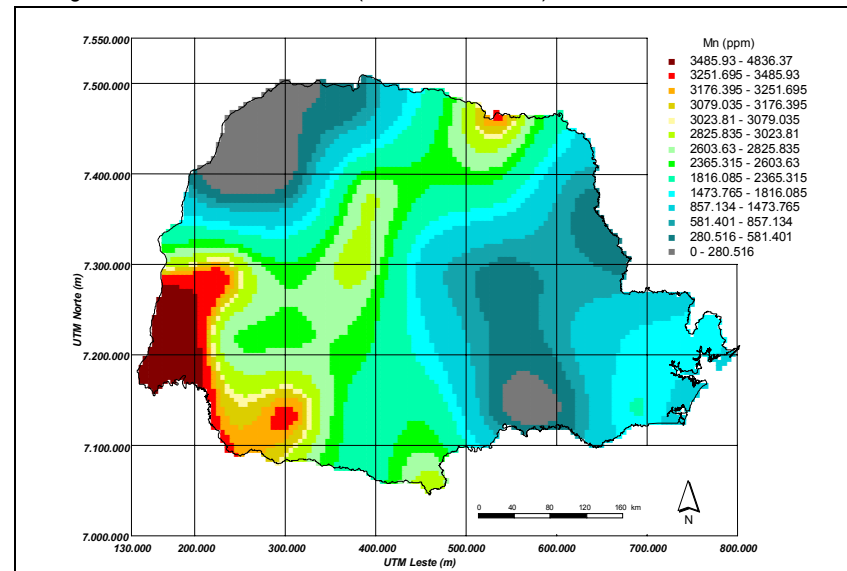


Figura 4.59 – Mapa geoquímico do Mn nos sedimentos de fundo das microbacias hidrográficas do Estado do Paraná (sub-células GGRN).